

3 Absorção Interbandas

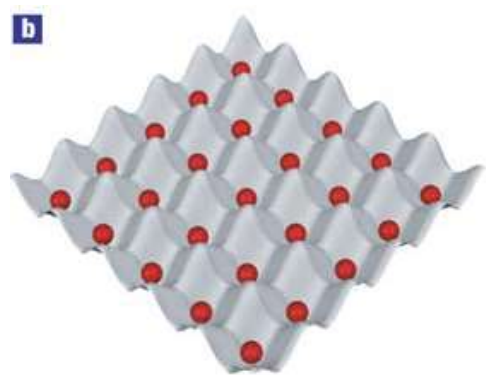
3.0 Teoria de Bandas (Apêndice D)

- 3.1 Transições Interbandas
- 3.2 Taxa de transição para absorção direta
- 3.3 Absorção na borda da banda
em semicondutores de gap direto
- 3.4 Absorção na borda da banda
em semicondutores de gap indireto



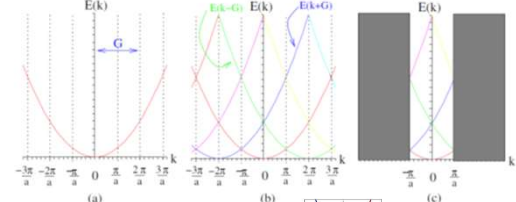
3 Absorção Interbandas

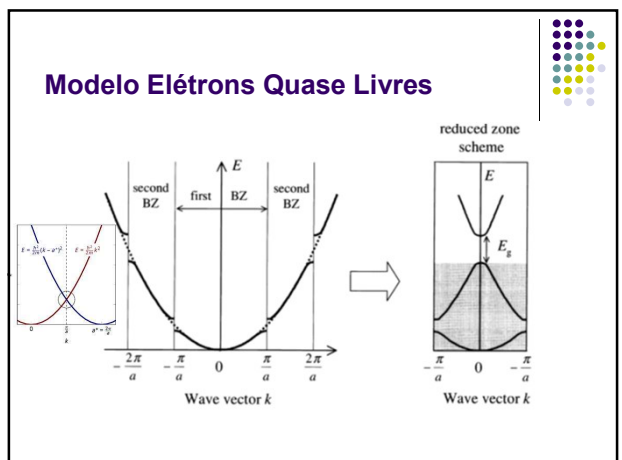
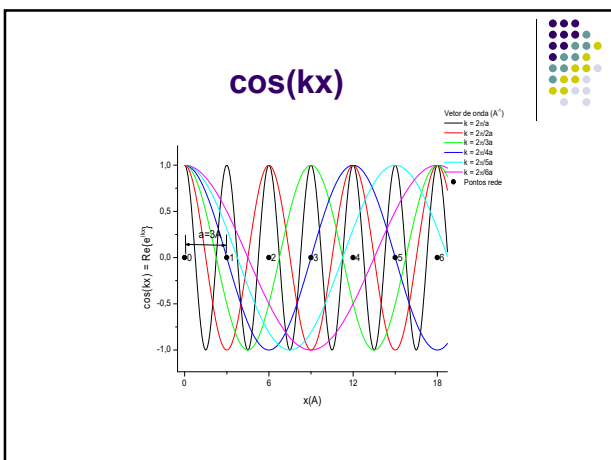
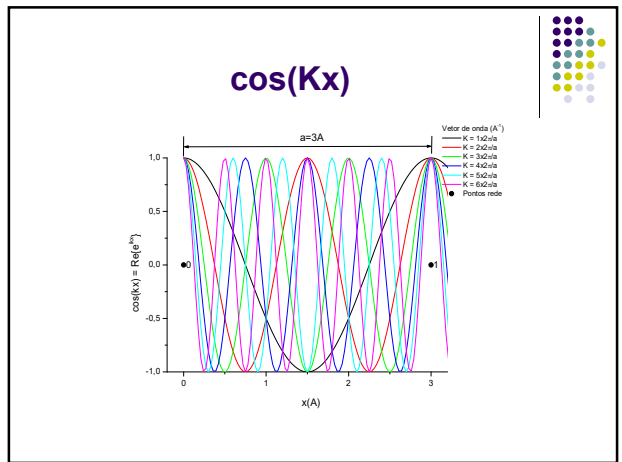
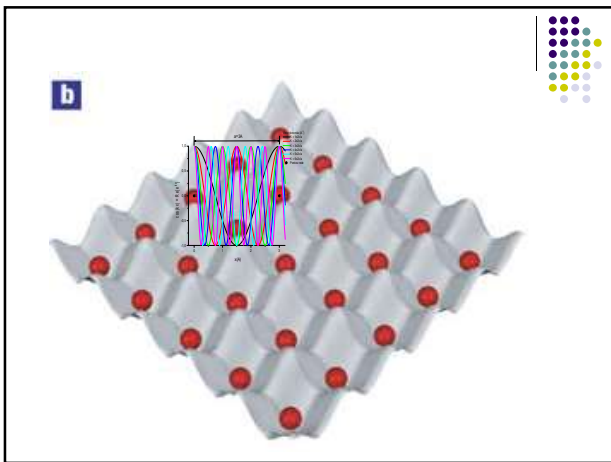
3.0 Teoria de Bandas (Apêndice D)

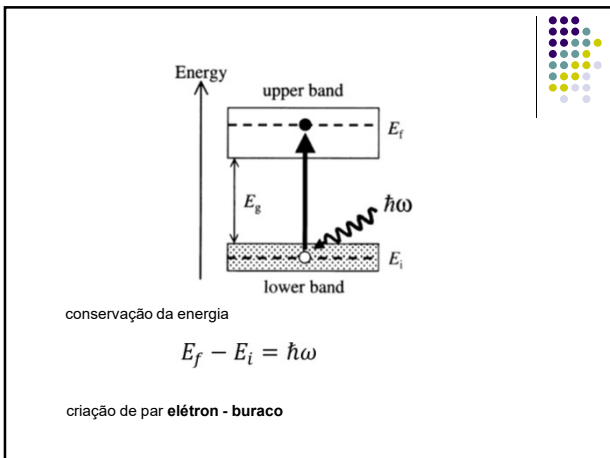
**b**dispersão $E(\vec{k})$

$$E_k = \frac{\hbar^2 k^2}{2m}$$

électron libre

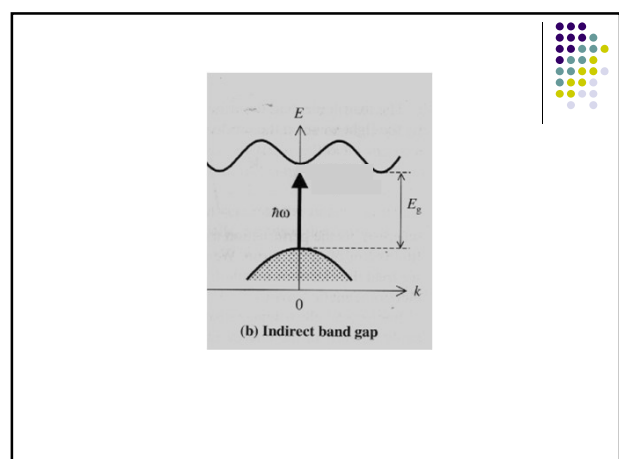
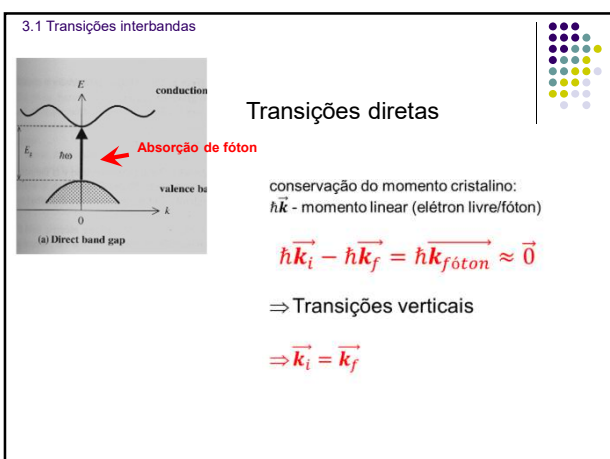






3 Absorção Interbandas

- 3.1 Transições Interbandas
- 3.2 Taxa de transição para absorção direta
- 3.3 Absorção na borda da banda em semicondutores de gap direto
- 3.4 Absorção na borda da banda em semicondutores de gap indireto
- 3.5 Absorção Interbandas acima das bordas das bandas
- 3.6 Medidas de espectros de absorção
- 3.7 Fotodetectores Semicondutores



3.1 Transições interbandas

Absorção e emissão de fônon

Transições indiretas

conservação do momento cristalino:

$$\hbar \vec{k}_i - \hbar \vec{k}_f = \hbar \vec{q}_{f\text{ôn}on} \gg \vec{0}$$

⇒ Transições oblíquas

⇒ necessitam $\vec{q}_{f\text{ôn}on}$

3.1 Transições interbandas

(a) Direct band gap

(b) Indirect band gap

Absorção e emissão de fônon

3.2 Taxa de transição para absorção direta

coeficiente de absorção $\alpha \propto W_{i \rightarrow f}$ taxa de transição

$$W_{i \rightarrow f} = \frac{2\pi}{h} |M|^2 g(h\omega). \quad (\text{Regra de Ouro de Fermi})$$

Onde

- Elemento de matriz M ,
- Densidade de estados $g(h\omega)$.

$$M = \langle f | H' | i \rangle = \int \psi_f^*(\vec{r}) H' \psi_i(\vec{r}) d^3r$$

$$H' = -\vec{p}_e \vec{E}_{foton}$$

Momento de dipolo elétrico $\vec{p}_e = -e\vec{r} \times \text{campo } \vec{E}_{foton}$

Elemento de Matriz

M

Hamiltoniana de perturbação

$$H'(\vec{r}) = e\vec{E}_o \cdot \vec{r} \cdot e^{i\vec{k}\cdot\vec{r}}$$

$$\psi_i(\vec{r}) = \frac{1}{\sqrt{V}} u_i(\vec{r}) e^{i\vec{k}_i \cdot \vec{r}}$$

$$\psi_f(\vec{r}) = \frac{1}{\sqrt{V}} u_f(\vec{r}) e^{i\vec{k}_f \cdot \vec{r}}$$

$$M = \frac{1}{V} \int_{\text{crystal}} u_f^*(\vec{r}) e^{-i\vec{k}_f \cdot \vec{r}} \cdot (e\vec{E}_o \cdot e^{i\vec{k}_f \cdot \vec{r}} \cdot \vec{r}) \cdot u_i(\vec{r}) e^{i\vec{k}_i \cdot \vec{r}} d^3 r$$

Se o fator de fase na integral não for zero, as diferentes células unitárias estarão fora de fase, e a integral dará zero.

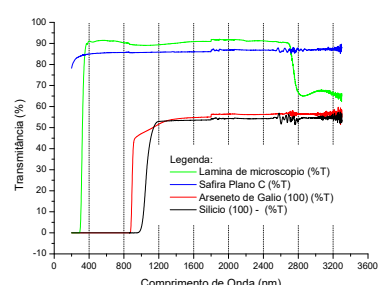
$$\begin{aligned} M &\neq 0 \\ \Rightarrow \quad \hbar\vec{k}_f - \hbar\vec{k}_i &= \hbar\vec{k} \quad (\text{conservação de momento}) \end{aligned}$$

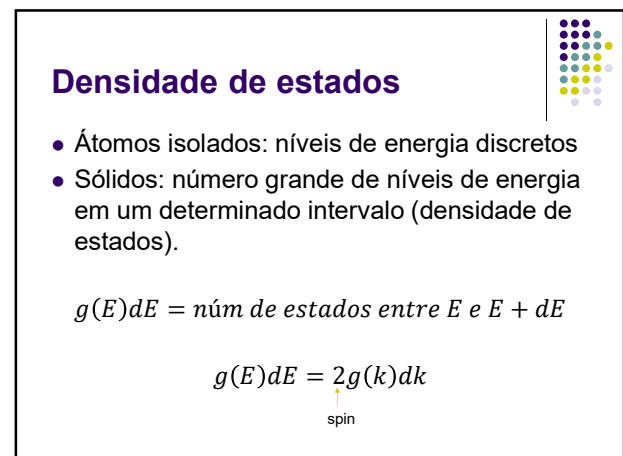
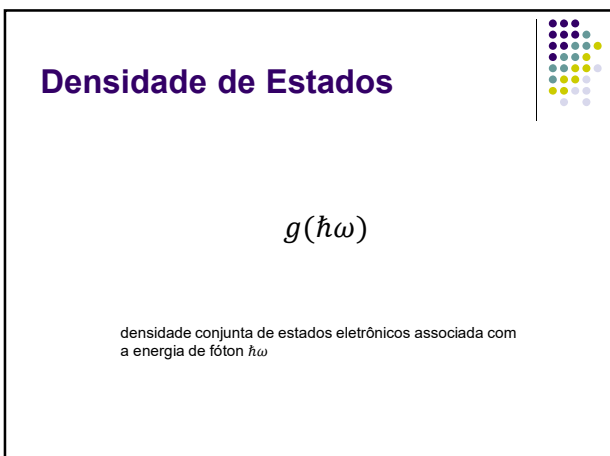
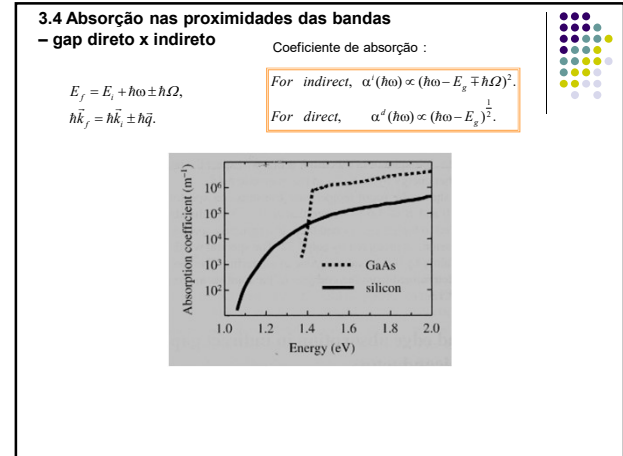
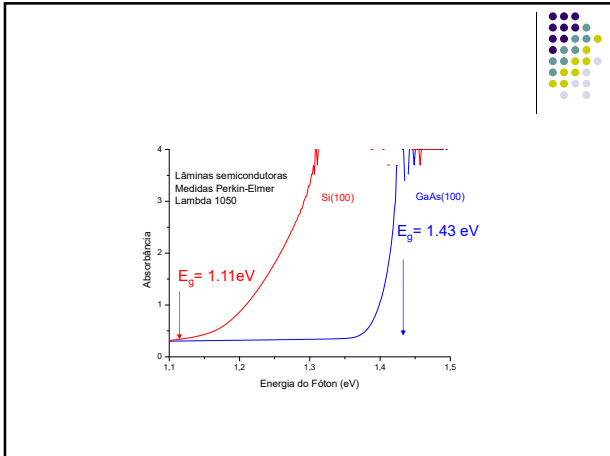
$$\begin{aligned} \hbar\vec{k} &\cong \mathbf{0} \\ \hbar\vec{k}_f &\cong \hbar\vec{k}_i \quad (\text{transições verticais}) \end{aligned}$$

Bloch => u_i e u_f - periodicidade da rede

$$|M| \propto \int_{\text{célula unit}} u_f^*(\vec{r}) x u_i(\vec{r}) d^3 r$$

X=> onda polarizada ao longo do eixo x.





$$g(E) = \frac{2g(k)}{dE/dk}$$

$$g(k)dk = \frac{1}{(2\pi)^3} \cdot 4\pi k^2 dk \therefore g(k) = \frac{k^2}{2\pi^2}$$

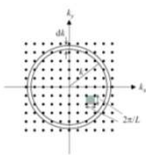
Número de estados por unidade de volume no espaço k .
De onde se pode deduzir tb que (3.a):

$$(\Delta k)^3 = \frac{(2\pi)^3}{L_x L_y L_z}$$

$$E(k) = \frac{\hbar^2 k^2}{2m^*} \rightarrow k = \sqrt{\frac{2m^* E}{\hbar^2}}$$

$$\frac{dE}{dk} = \frac{\hbar^2 k}{m^*}$$

E.2 $\rightarrow g(E) = \frac{2 \times \frac{k^2}{2\pi^2}}{\frac{\hbar^2 k}{m^*}} = \frac{m^*}{\pi^2 \hbar^2} k = \frac{m^*}{\pi^2 \hbar^2} \sqrt{\frac{2m^* E}{\hbar^2}} = \frac{1}{2\pi} \left(\frac{2m^*}{\hbar^2} \right)^{3/2} \sqrt{E}$



$$g(k)dk = \frac{1}{2\pi^3} 4\pi k^2 dk$$

$$g(k) = \frac{k^2}{2\pi^2}$$

$$g(E) = \frac{2g(k)}{dE/dk}$$

Gradiente da curva de dispersão E-k

$$g(E) = \frac{1}{2\pi^2} \left(\frac{2m^*}{\hbar^2} \right) E^{1/2}$$

Continuação, Cap.3....

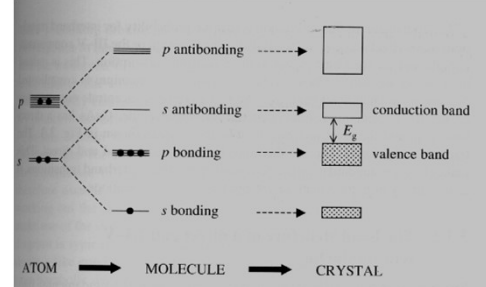
3 Absorção Interbandas

- 3.1 Transições Interbandas
- 3.2 Taxa de transição para absorção direta
- 3.3 Absorção na borda da banda em semicondutores de gap direto
- 3.4 Absorção na borda da banda em semicondutores de gap **indireto**
- 3.5 Absorção Interbandas acima das bordas das bandas
- 3.6 Medidas de espectros de absorção
- 3.7 Fotodetectores Semicondutores



3.3 Absorção fundamental em semicondutores de gap direto

Orbitais moleculares e formação de bandas

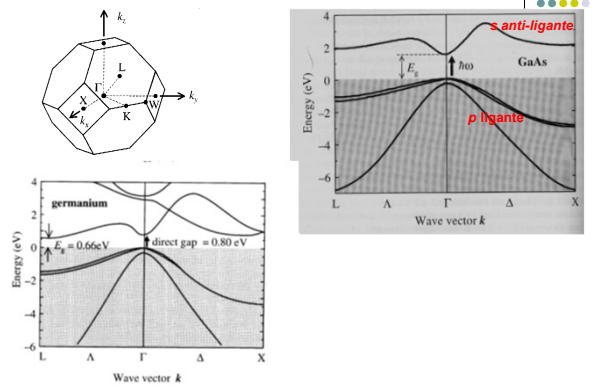


Ge: $4s^24p^2$ banda de condução

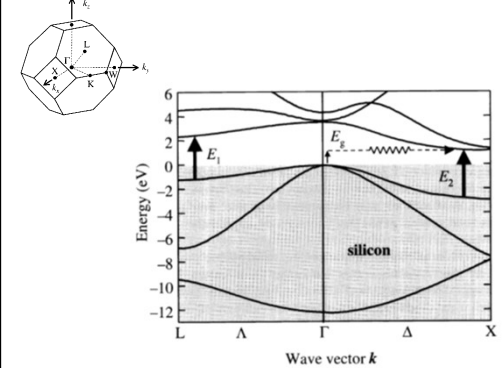
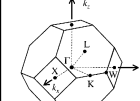
$4sp^3$ ligantes (p dominante) banda de valência

3.3 Absorção no limite das bandas em semicondutores de gap direto

Estrutura de bandas de um semicondutor III-V de gap direto



silicon



3.3 Absorção fundamental em semicondutores de gap direto



Regras de seleção (transições de dipolo elétrico):

- (1) estados inicial \Rightarrow paridade diferente
- (2) $\Delta j = -1, 0$ or $+1$. (momento angular total \Rightarrow muda uma unidade)
- (3) $\Delta l = \pm 1$. (momento angular orbital \Rightarrow muda uma unidade)
- (4) $\Delta m_s = 0$. (números quânticos de spin \Rightarrow não muda).

Transições permitidas de dipolo elétrico:

altas taxas de transição, tempos radiativos curtos (10^{-9} – 10^{-8} s)– **fluorescência**.

3.3 Absorção fundamental em semicondutores de gap direto



Regras de seleção (transições de dipolo elétrico):

- (1) estados inicial \Rightarrow paridade diferente
- (2) $\Delta j = -1, 0$ or $+1$. (momento angular total \Rightarrow muda uma unidade)
- (3) $\Delta l = \pm 1$. (momento angular orbital \Rightarrow muda uma unidade)
- (4) $\Delta m_s = 0$. (números quânticos de spin \Rightarrow não muda).

Transições proibidas de dipolo elétrico:

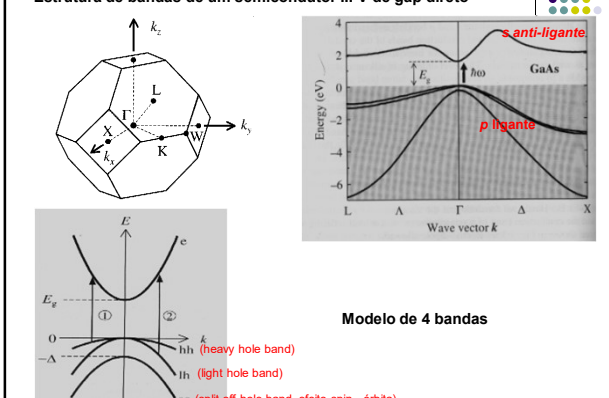
Dipolo magnético ou quadrupolo elétrico:

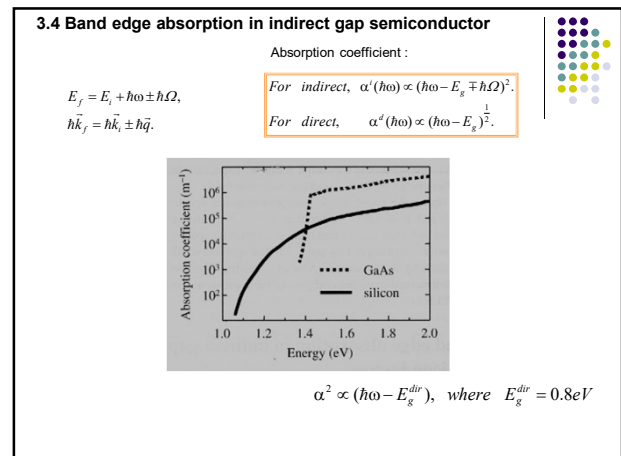
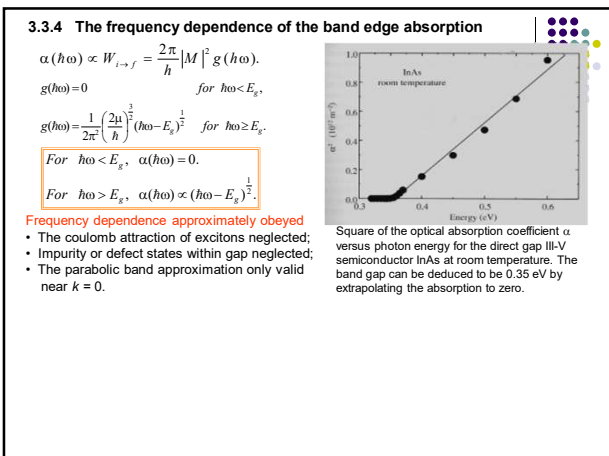
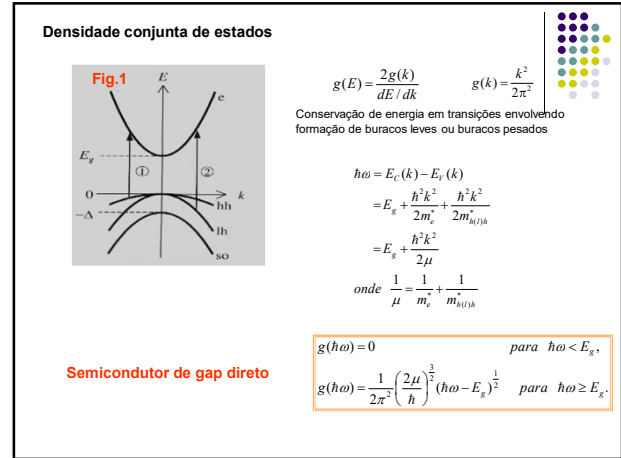
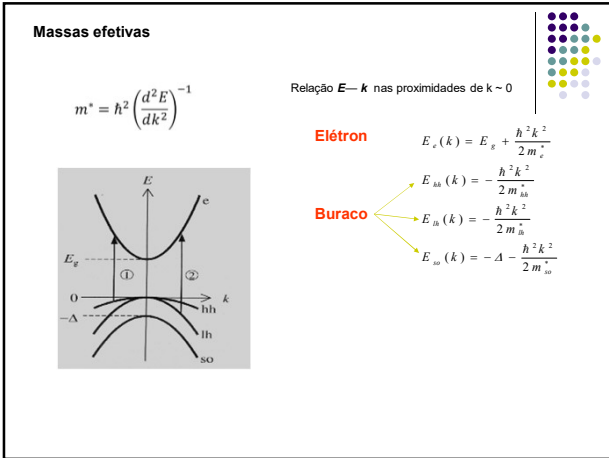
taxas de transição menores e tempos radiativos mais longos (10^{-6} s para acima) – a emissão lenta das transições proibidas de dipolo elétrico são chamadas de **fosforescência**.



3.3 Absorção no limite das bandas em semicondutores de gap direto

Estrutura de bandas de um semicondutor III-V de gap direto





3.3.5 Efeito Franz-Keldysh

Dois efeitos principais devidos à aplicação de um campo elétrico externo E :

para $\hbar\omega < E_g$, $\alpha(\hbar\omega) \propto \left(-\frac{4\sqrt{2m_e^*}}{3|e|\hbar E} (E_g - \hbar\omega)^{3/2} \right)$

para $\hbar\omega > E_g$, $\alpha(\hbar\omega) \rightarrow \text{oscilações}$

Consequências do efeito F-K

Efeito eletro-óptico:
O campo elétrico modula as constantes ópticas (n, κ) .

Eletro-refletância:
A refletividade pode mudar devido a modulações nas constantes ópticas (n, κ) .

3.3.4 The frequency dependence of the band edge absorption

$\alpha(\hbar\omega) \propto W_{i \rightarrow f} = \frac{2\pi}{h} |M|^2 g(\hbar\omega)$.

$g(\hbar\omega) = 0 \quad \text{for } \hbar\omega < E_g,$

$g(\hbar\omega) = \frac{1}{2\pi^2} \left(\frac{2\mu}{h} \right)^{\frac{1}{2}} (\hbar\omega - E_g)^{\frac{1}{2}} \quad \text{for } \hbar\omega > E_g.$

For $\hbar\omega < E_g$, $\alpha(\hbar\omega) = 0$.

For $\hbar\omega > E_g$, $\alpha(\hbar\omega) \propto (\hbar\omega - E_g)^{\frac{1}{2}}$.

Frequency dependence approximately obeyed

- The coulomb attraction of excitons neglected;
- Impurity or defect states within gap neglected;
- The parabolic band approximation only valid near $k = 0$.

Square of the optical absorption coefficient α versus photon energy for the direct gap III-V semiconductor InAs at room temperature. The band gap can be deduced to be 0.35 eV by extrapolating the absorption to zero.

3.3.6 Band edge absorption in a magnetic field

The electrons in magnetic field:

$$\omega_c = \frac{eB}{m_e} \quad (\text{cyclotron frequency})$$

The quantized energy (Landau levels):

$$E_n(k_z) = \left(n + \frac{1}{2}\right)\hbar\omega_c \quad (n = 0, 1, 2, \dots)$$

The energies electrons and holes within the bands are given by:

$$E_n(k_z) = \left(n + \frac{1}{2}\right) \frac{e\hbar B_z}{m^*} + \frac{\hbar^2 k_z^2}{2m^*}$$

Quantized motion in the (x, y) plane, free motion in the z direction, $E=0$ at the top of the valence band:

$$E_n^*(k_z) = E_g + \left(n + \frac{1}{2}\right) \frac{e\hbar B_z}{m^*} + \frac{\hbar^2 k_z^2}{2m^*}$$

$$E_h^*(k_z) = -(n' + \frac{1}{2}) \frac{e\hbar B_z}{m_h^*} - \frac{\hbar^2 k_z^2}{2m_h^*}$$

The interband transition creates an electron in the conduction band and a hole in valence band

Selection rule: $n = n'$, $k_z = k'_z$.
(the momentum is negligible)

3.4 Band edge absorption in indirect gap semiconductor

The indirect transition involve both photons and phonons ($\hbar\omega, \hbar\Omega$):

$$E_f = E_i + \hbar\omega \pm \hbar\Omega, \quad \vec{h}\vec{k}_f = \vec{h}\vec{k}_i \pm \hbar\vec{q}.$$

This is a second-order process, the transition rate is much smaller than for direct absorption.

Absorption coefficient of indirect band gap:

For indirect, $\alpha'(\hbar\omega) \propto (\hbar\omega - E_g)^{\frac{1}{2}}$

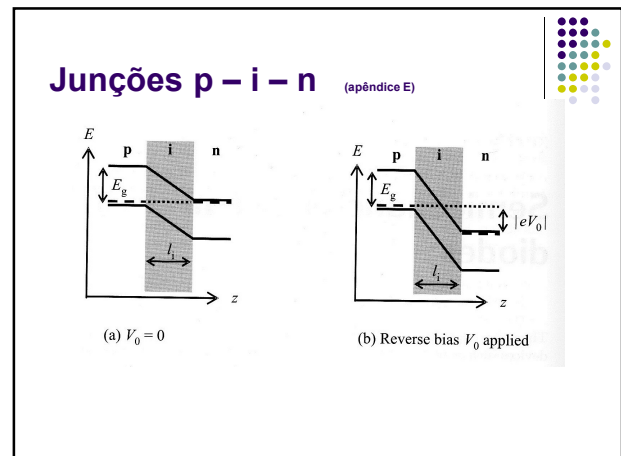
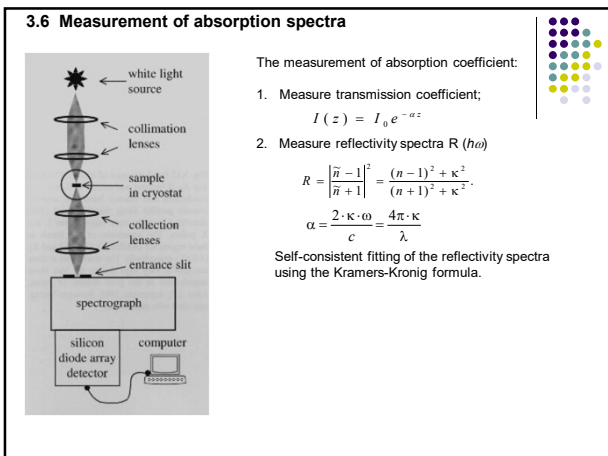
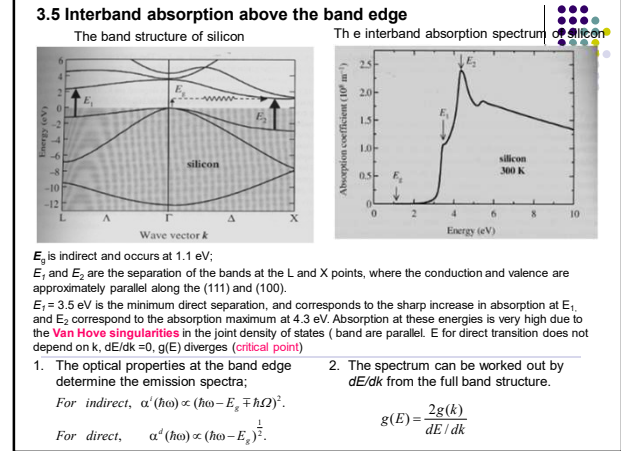
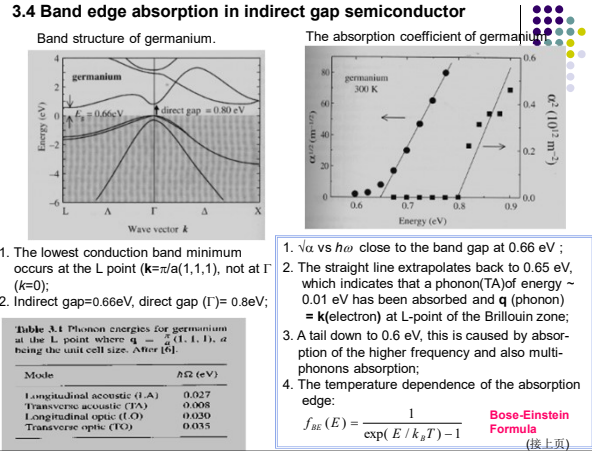
For direct, $\alpha''(\hbar\omega) \propto (\hbar\omega - E_g)^{\frac{1}{2}}$

The differences:

- Threshold;
- Frequency dependence.

The differences provide a way to determine whether the band gap is direct or not.

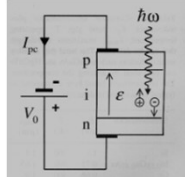
Comparison of the absorption coefficient of GaAs and Silicon near their band edges. GaAs has a direct band gap at 1.42 eV, while silicon has an indirect gap at 1.12 eV. The absorption rises much faster with frequency in a direct gap material, and exceeds the indirect material.



3.7 Semiconductor photodetectors

The operating principles:

Light with photon energy greater than the band gap is absorbed in the semiconductor, and this creates free electrons in the conduction band and free holes in the valence band. The presence of the light can therefore be detected either by measuring a change in resistance of the sample or by measuring an electrical current in an external circuit.



The p-i-n photodiode is operated in reverse bias with a positive voltage V_0 applied to the n-region. This generates a strong DC electric field E across the i-region. Absorption of photons in the i-region creates free electron $-$ and hole \oplus that are attracted to the n-region and p-regions respectively then flow into the circuit by the field, generating the **photocurrent** I_{pc} .

3.7.1 Photodiodes

$$I(z) = I_0 e^{-\alpha z}$$

The fraction of light absorbed in a length l :

$$I^{ab} = I_0 (1 - e^{-\alpha(l)})$$

$$\text{Photocurrent } I_{pc} = e\eta \frac{P}{\hbar\omega} (1 - e^{-\alpha(l)}).$$

η : quantum efficiency,

$P/\hbar\omega$: the flux of photons per unit time

$$\therefore \text{responsivity} = \frac{I_{pc}}{P} = \frac{\eta e}{\hbar\omega} (1 - e^{-\alpha(l)}) \quad (\text{A/W})$$

If $\eta \approx (1 - e^{-\alpha l}) \approx 1$

$$\text{responsivity} \approx \frac{I_{pc}}{P} \approx \frac{e}{\hbar\omega}$$

3.7 Semiconductor photodetectors

Table Common semiconductor photodetectors. E_g : band gap, T : operating temperature, λ_{\max} : maximum wavelength that can be detected. The band gap of alloy semiconductors such as InGaAs and HgCdTe can be varied by altering the composition. The compositions listed here correspond to typical values used in detectors.

Semiconductor	E_g (eV)	T (K)	λ_{\max} (μm)
Si	1.1	300	1.1
In _{0.53} Ga _{0.47} As	0.75	300	1.65
Ge	0.66	300	1.9
Ge	0.73	77	1.7
InAs	0.42	77	3.0
InSb	0.23	77	5.2
Hg _{0.8} Cd _{0.2} Tc	0.09	77	14

3.7.2 Photoconductive devices

The device relies on the change of the conductivity of material when illuminated by light. The conductivity increases due to the generation of free carriers after absorption of photons by interband transitions.

Compared with photodiodes, the detectors are simpler, but tend to have slow response times.

3.7.3 Photovoltaic devices (solar cell)

The device generates a photovoltage when irradiated by light. This in turn can be used to generate electrical power in an external power.